De-scoped PICO r statistics

Aditya Rotti

Case	Moments	Parameters
cMILC00	$I_{\rm CMB}$	1
cMILC01	$I_{\rm CMB}$; $I_{\rm sync}$	2
cMILC02	$I_{\rm CMB}$; $I_{\rm dust}$	2
cMILC03	$I_{\rm CMB}$; $I_{\rm sync}$; $I_{\rm dust}$	3
cMILC04	$I_{\rm CMB}$; $I_{\rm dust}$; $\frac{dI_{\rm dust}}{d\beta}$	3
cMILC05	$I_{\rm CMB}$; $I_{\rm sync}$; $I_{\rm dust}$; $\frac{dI_{\rm dust}}{d\beta}$	4
cMILC06	$I_{\rm CMB}$; $I_{\rm sync}$; $I_{\rm dust}$; $\frac{dI_{\rm sync}}{d\beta}$; $\frac{dI_{\rm dust}}{d\beta}$ (H)	5
cMILC07	$I_{\rm CMB}$; $I_{\rm sync}$; $I_{\rm dust}$; $\frac{dI_{\rm sync}}{d\beta}$; $\frac{dI_{\rm dust}}{d\beta}$; $\frac{dI_{\rm dust}}{dT}$	6
cMILC08	$I_{\rm CMB}$; $I_{\rm sync}$; $I_{\rm dust}$; $\frac{dI_{\rm sync}}{d\beta}$; $\frac{dI_{\rm dust}}{d\beta}$; $\frac{dI_{\rm dust}}{dT}$; $\frac{d^2I_{\rm dust}}{d^2T}$	7
cMILC09	$I_{\rm CMB}$; $I_{\rm sync}$; $I_{\rm dust}$; $\frac{dI_{\rm sync}}{d\beta}$; $\frac{dI_{\rm dust}}{d\beta}$; $\frac{dI_{\rm dust}}{dT}$; $\frac{d^2I_{\rm dust}}{d^2T}$ (H)	7
cMILC10	$I_{\rm CMB}$; $I_{\rm sync}$; $I_{\rm dust}$; $\frac{dI_{\rm sync}}{d\beta}$; $\frac{dI_{\rm dust}}{d\beta}$; $\frac{dI_{\rm dust}}{dT}$; $\frac{d^2I_{\rm sync}}{d^2\beta}$; $\frac{d^2I_{\rm dust}}{d^2T}$	8
cMILC11	$I_{\rm CMB}$; $I_{\rm sync}$; $I_{\rm dust}$; $\frac{dI_{\rm sync}}{d\beta}$; $\frac{dI_{\rm dust}}{d\beta}$; $\frac{dI_{\rm dust}}{dT}$; $\frac{d^2I_{\rm sync}}{d^2\beta}$; $\frac{d^2I_{\rm dust}}{d^2T}$ (H)	8
cMILC12	$I_{\rm CMB}$; $I_{\rm sync}$; $I_{\rm dust}$; $\frac{dI_{\rm sync}}{d\beta}$; $\frac{dI_{\rm dust}}{d\beta}$; $\frac{dI_{\rm dust}}{dT}$; $\frac{d^2I_{\rm sync}}{d^2\beta}$; $\frac{d^2I_{\rm dust}}{d^2T}$; $\frac{d^2I_{\rm dust}}{d\beta dT}$	9
cMILC13	$I_{\rm CMB}$; $I_{\rm sync}$; $I_{\rm dust}$; $\frac{dI_{\rm sync}}{d\beta}$; $\frac{dI_{\rm dust}}{d\beta}$; $\frac{dI_{\rm dust}}{dT}$; $\frac{d^2I_{\rm sync}}{d^2\beta}$; $\frac{d^2I_{\rm dust}}{d^2T}$; $\frac{d^2I_{\rm dust}}{d\beta dT}$ (H)	9
cMILC14	$I_{\rm CMB}$; $I_{\rm sync}$; $I_{\rm dust}$; $\frac{dI_{\rm sync}}{d\beta}$; $\frac{dI_{\rm dust}}{d\beta}$; $\frac{dI_{\rm dust}}{dT}$; $\frac{d^2I_{\rm sync}}{d^2\beta}$; $\frac{d^2I_{\rm dust}}{d^2T}$; $\frac{d^2I_{\rm dust}}{d\beta dT}$; $\frac{d^2I_{\rm dust}}{d^2\beta}$	10

Case	Alens	r_{bias}	σ_r	r_{95}	SNR
cMILC00	0.0	0.00126	0.00007	NaN	18.88195
	0.3	0.00182	0.00016	NaN	11.10494
	0.6	0.00234	0.00029	NaN	8.02171
	0.9	0.00275	0.00040	NaN	6.78713
cMILC01	0.0	0.00124	0.00007	NaN	18.47204
	0.3	0.00182	0.00017	NaN	10.94487
	0.6	0.00233	0.00029	NaN	8.02081
	0.9	0.00276	0.00041	NaN	6.68414
cMILC02	0.0	0.00067	0.00006	NaN	10.84850
	0.3	0.00100	0.00016	NaN	6.40522
	0.6	0.00141	0.00027	NaN	5.18817
	0.9	0.00174	0.00037	NaN	4.72768
cMILC03	0.0	0.00062	0.00006	NaN	9.95139
	0.3	0.00096	0.00015	NaN	6.19915
	0.6	0.00135	0.00027	NaN	5.04897
	0.9	0.00168	0.00036	NaN	4.64135
cMILC04	0.0	0.00089	0.00009	NaN	10.43432
	0.3	0.00121	0.00017	NaN	7.01549
	0.6	0.00163	0.00030	NaN	5.49772
	0.9	0.00200	0.00042	NaN	4.81675
cMILC05	0.0	0.00082	0.00009	NaN	9.44254
	0.3	0.00114	0.00017	NaN	6.64283
	0.6	0.00156	0.00029	NaN	5.33107
	0.9	0.00194	0.00041	NaN	4.76759
cMILC06	0.0	0.00083	0.00011	NaN	7.43734
	0.3	0.00103	0.00017	NaN	6.18389
	0.6	0.00126	0.00023	NaN	5.36779
	0.9	0.00142	0.00029	NaN	4.88190
cMILC07	0.0	0.00064	0.00017	NaN	3.75336
	0.3	0.00065	0.00018	NaN	3.68438
	0.6	0.00067	0.00019	NaN	3.51548
	0.9	0.00069	0.00021	NaN	3.27471
cMILC08	0.0	0.00077	0.00140	0.00394	0.55458
	0.3	0.00077	0.00140	0.00394	0.55430
	0.6	0.00077	0.00140	0.00394	0.55345

Continued on next page

Case	Alens	r_{bias}	σ_r	r_{95}	SNR
	0.9	0.00077	0.00140	0.00395	0.55207
cMILC09	0.0	0.00083	0.00013	NaN	6.14531
	0.3	0.00056	0.00038	0.00134	1.46439
	0.6	0.00057	0.00063	0.00185	0.90460
	0.9	0.00060	0.00080	0.00227	0.74379
cMILC10	0.0	0.00042	0.00356	0.00861	0.11794
	0.3	0.00042	0.00356	0.00861	0.11793
	0.6	0.00042	0.00356	0.00861	0.11790
	0.9	0.00042	0.00356	0.00861	0.11785
cMILC11	0.0	0.00707	0.00076	NaN	9.31065
	0.3	0.00304	0.00291	0.00932	1.04447
	0.6	0.00136	0.00336	0.00888	0.40513
	0.9	0.00088	0.00346	0.00873	0.25540
cMILC12	0.0	0.00109	NaN	NaN	NaN
	0.3	0.00109	NaN	NaN	NaN
	0.6	0.00109	NaN	NaN	NaN
	0.9	0.00109	NaN	NaN	NaN
cMILC13	0.0	0.00516	0.00022	NaN	23.82658
	0.3	0.00821	0.00505	0.01858	1.62541
	0.6	0.00794	0.00915	0.02673	0.86709
	0.9	0.00777	NaN	NaN	NaN
cMILC14	0.0	0.00336	NaN	NaN	NaN
	0.3	0.00336	NaN	NaN	NaN
	0.6	0.00336	NaN	NaN	NaN
	0.9	0.00336	NaN	NaN	NaN

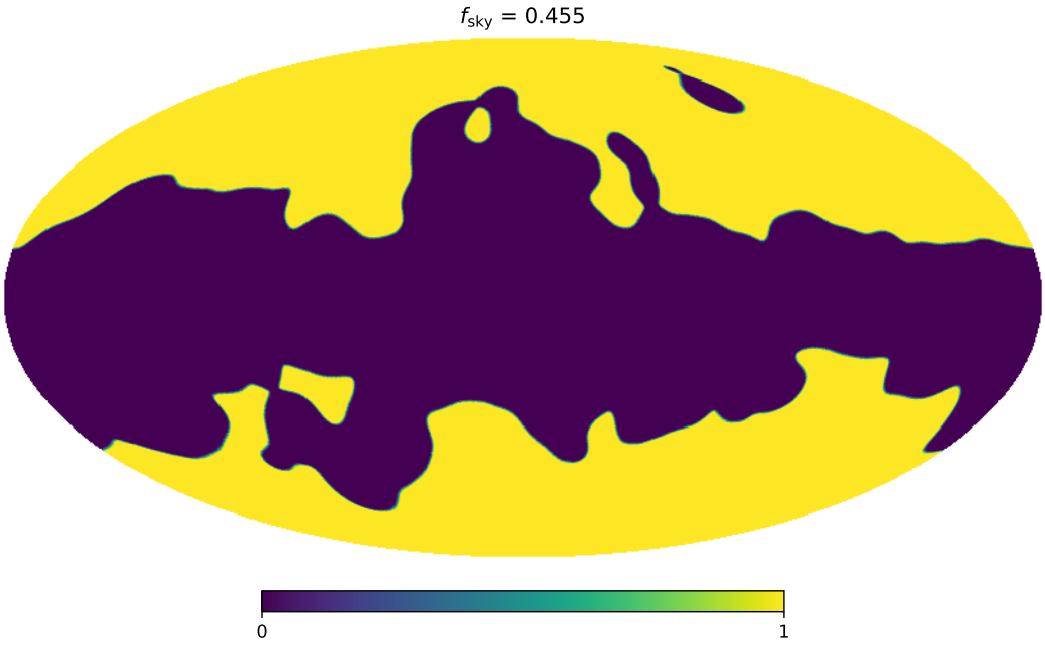

1 Mask

2 Posterior plots

cMILC00 : $I_{\rm CMB}$

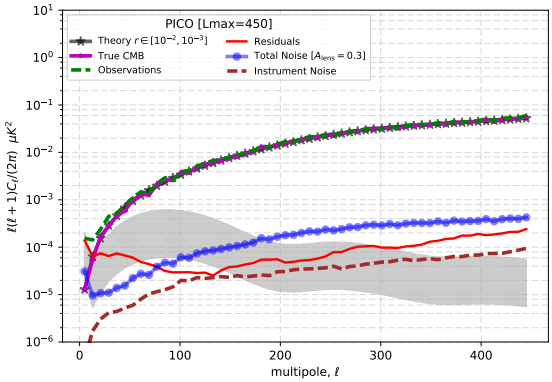

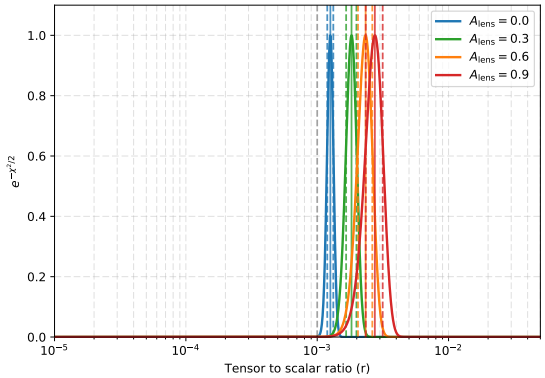

cMILC01 : $I_{\rm CMB}$; $I_{\rm sync}$

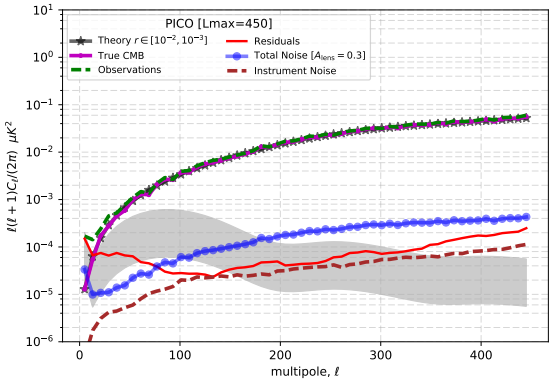

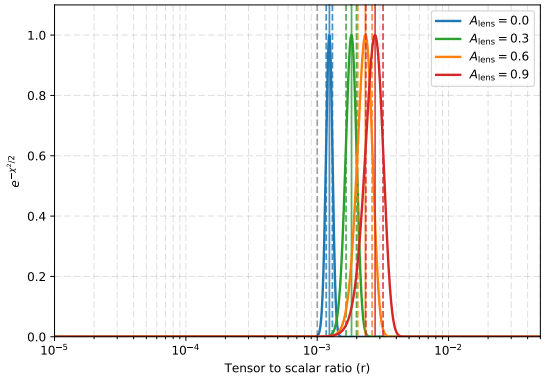

cMILC02 : $I_{\rm CMB}$; $I_{\rm dust}$

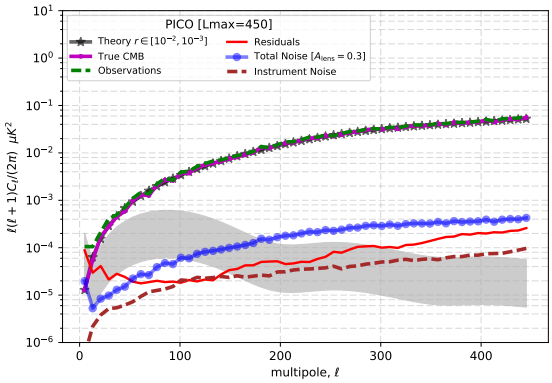

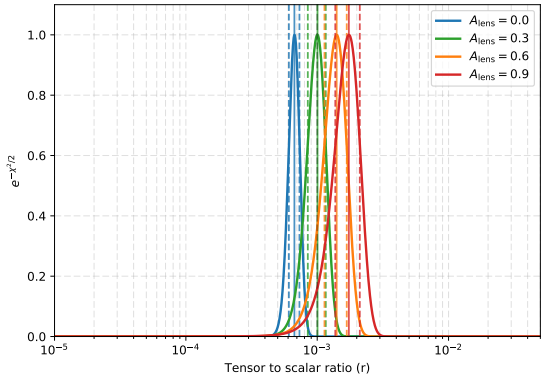

cMILC03 : $I_{\rm CMB}$; $I_{\rm sync}$; $I_{\rm dust}$

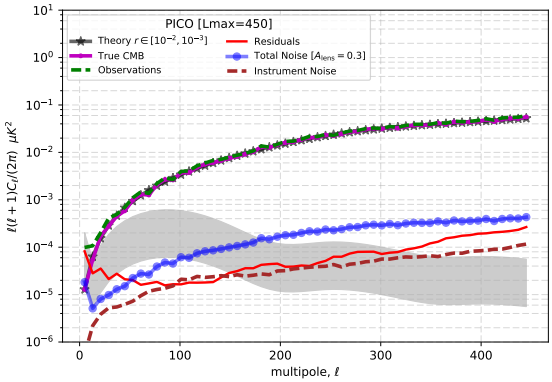

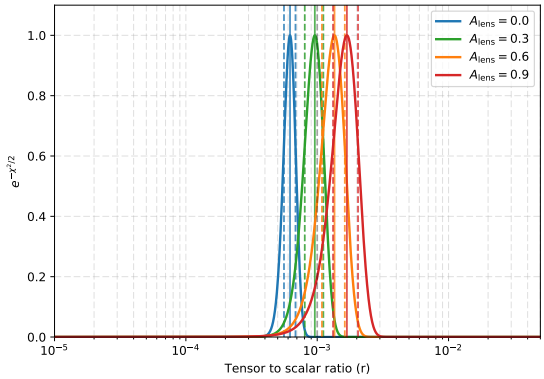

cMILC04 : $I_{\rm CMB}$; $I_{\rm dust}$; $\frac{dI_{\rm dust}}{d\beta}$

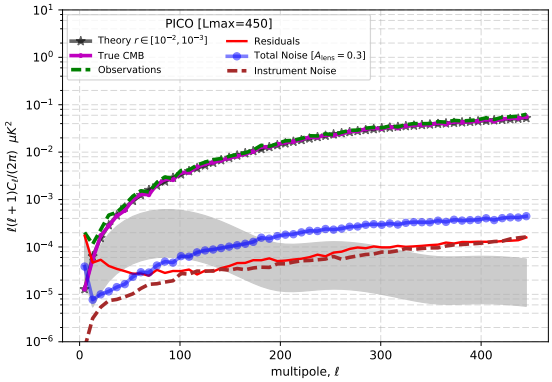

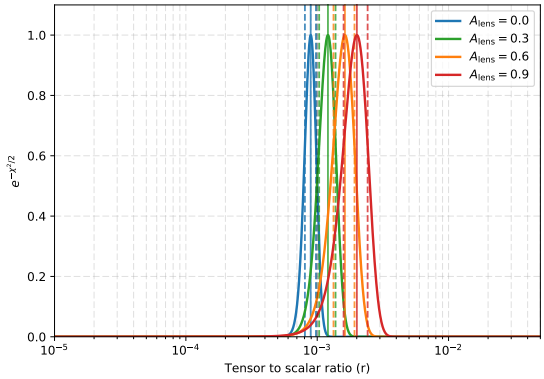

cMILC05 : $I_{\rm CMB}$; $I_{\rm sync}$; $I_{\rm dust}$; $\frac{dI_{\rm dust}}{d\beta}$

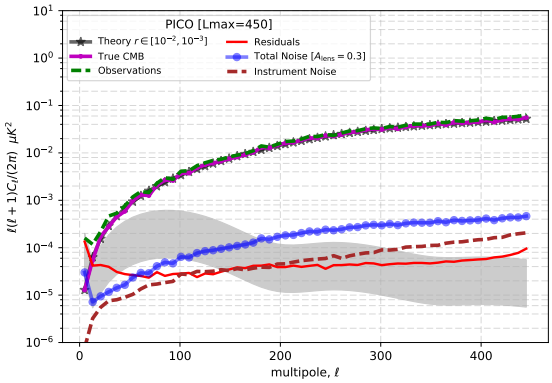

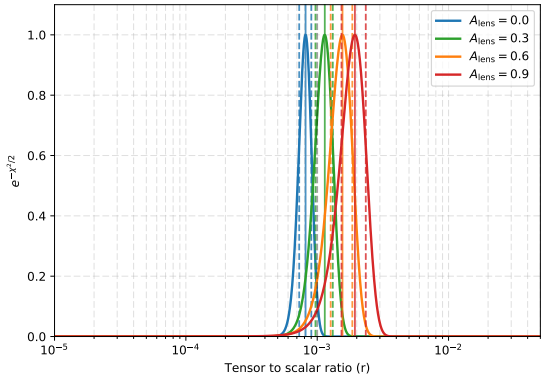

cMILC06 : $I_{\rm CMB}$; $I_{\rm sync}$; $I_{\rm dust}$; $\frac{dI_{\rm sync}}{d\beta}$; $\frac{dI_{\rm dust}}{d\beta}$ (H)

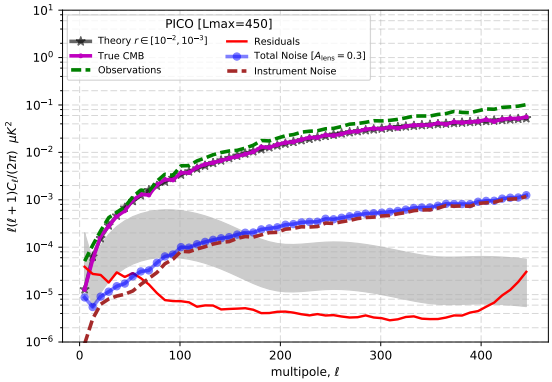

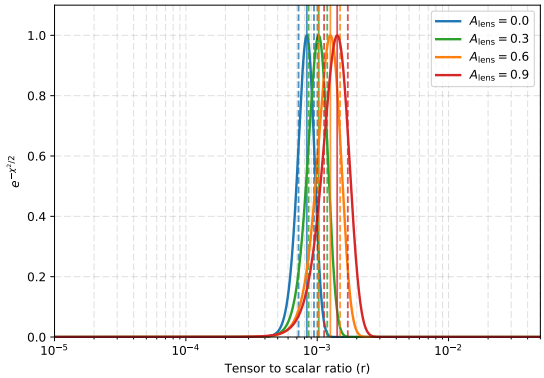

cMILC07 : $I_{\rm CMB}$; $I_{\rm sync}$; $I_{\rm dust}$; $\frac{dI_{\rm sync}}{d\beta}$; $\frac{dI_{\rm dust}}{d\beta}$; $\frac{dI_{\rm dust}}{dT}$

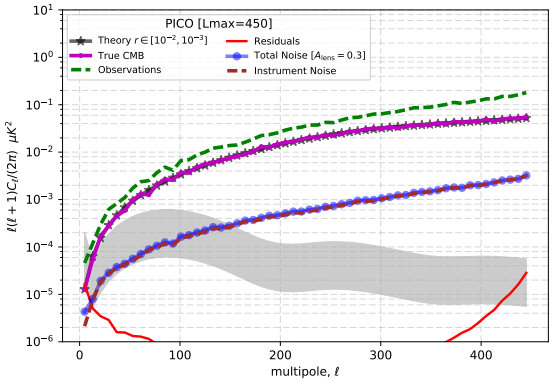

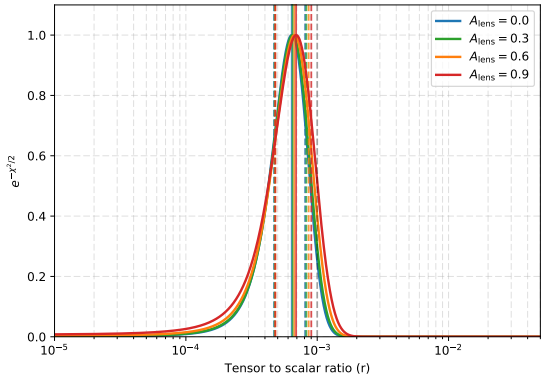

cMILC08 : $I_{\rm CMB}$; $I_{\rm sync}$; $I_{\rm dust}$; $\frac{dI_{\rm sync}}{d\beta}$; $\frac{dI_{\rm dust}}{d\beta}$; $\frac{dI_{\rm dust}}{dT}$; $\frac{d^2I_{\rm dust}}{d^2T}$

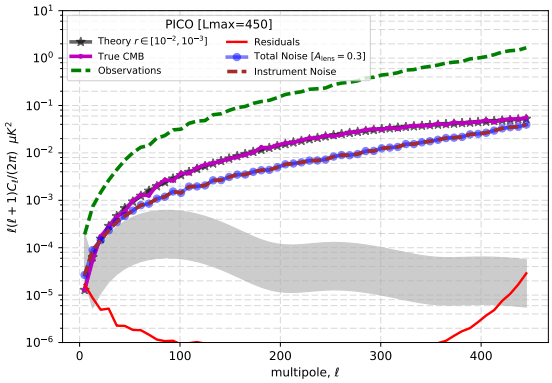

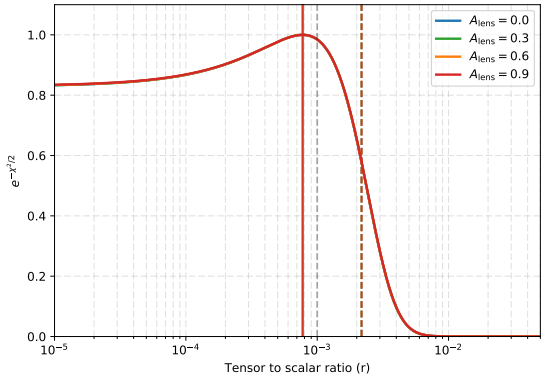

cMILC09 : $I_{\rm CMB}$; $I_{\rm sync}$; $I_{\rm dust}$; $\frac{dI_{\rm sync}}{d\beta}$; $\frac{dI_{\rm dust}}{d\beta}$; $\frac{dI_{\rm dust}}{dT}$; $\frac{d^2I_{\rm dust}}{d^2T}$ (H)

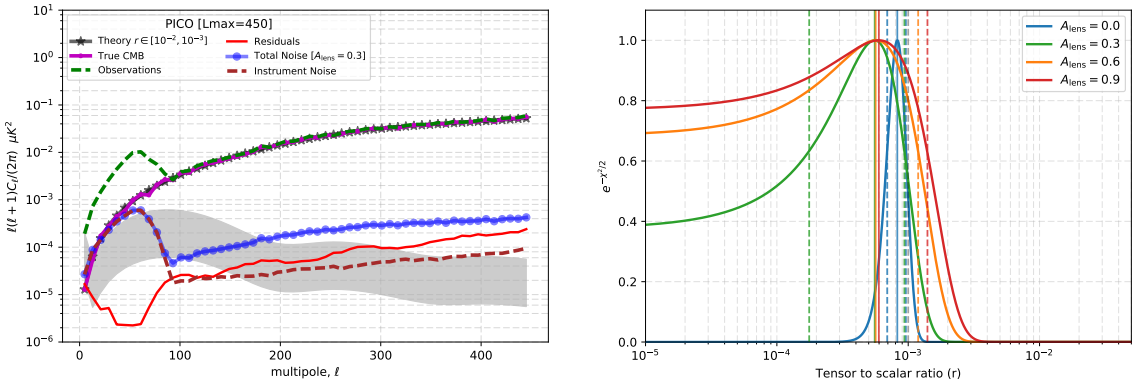

cMILC10 : $I_{\rm CMB}$; $I_{\rm sync}$; $I_{\rm dust}$; $\frac{dI_{\rm sync}}{d\beta}$; $\frac{dI_{\rm dust}}{d\beta}$; $\frac{dI_{\rm dust}}{dT}$; $\frac{d^2I_{\rm sync}}{d^2\beta}$; $\frac{d^2I_{\rm dust}}{d^2T}$

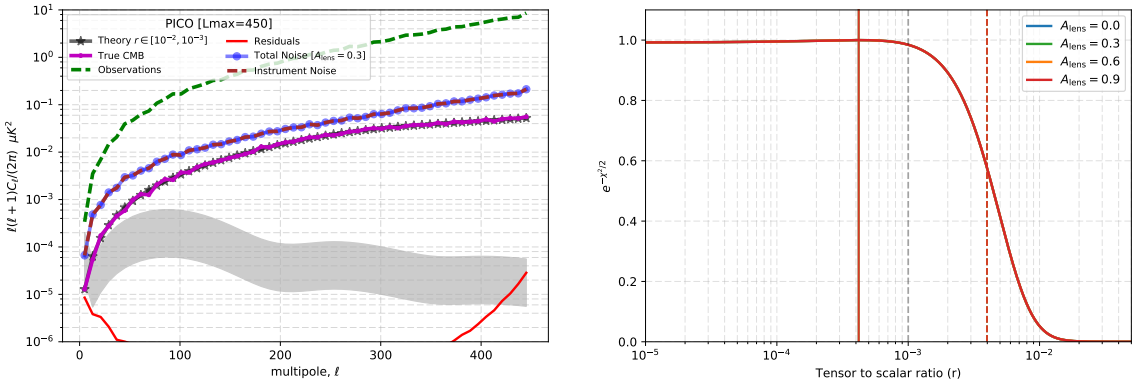

cMILC11 : $I_{\rm CMB}$; $I_{\rm sync}$; $I_{\rm dust}$; $\frac{dI_{\rm sync}}{d\beta}$; $\frac{dI_{\rm dust}}{d\beta}$; $\frac{dI_{\rm dust}}{dT}$; $\frac{d^2I_{\rm sync}}{d^2\beta}$; $\frac{d^2I_{\rm dust}}{d^2T}$ (H)

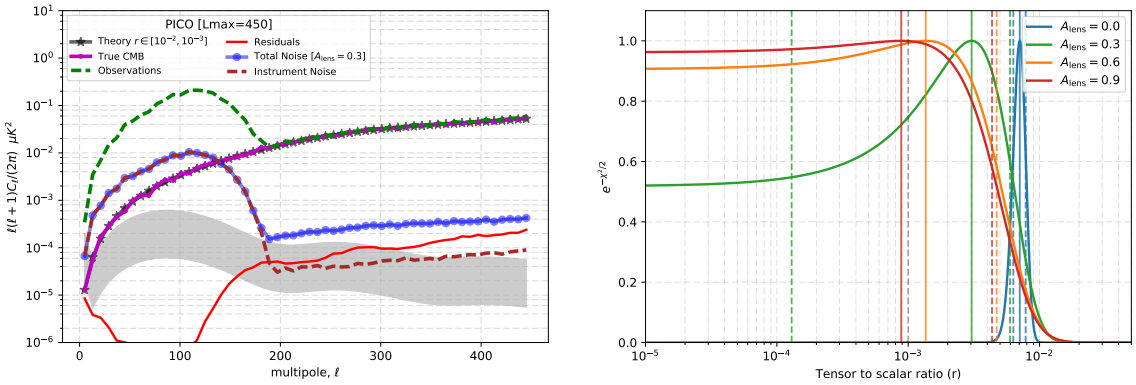

cMILC12 : $I_{\rm CMB}$; $I_{\rm sync}$; $I_{\rm dust}$; $\frac{dI_{\rm sync}}{d\beta}$; $\frac{dI_{\rm dust}}{d\beta}$; $\frac{dI_{\rm dust}}{dT}$; $\frac{d^2I_{\rm sync}}{d^2\beta}$; $\frac{d^2I_{\rm dust}}{d^2T}$; $\frac{d^2I_{\rm dust}}{d\beta dT}$

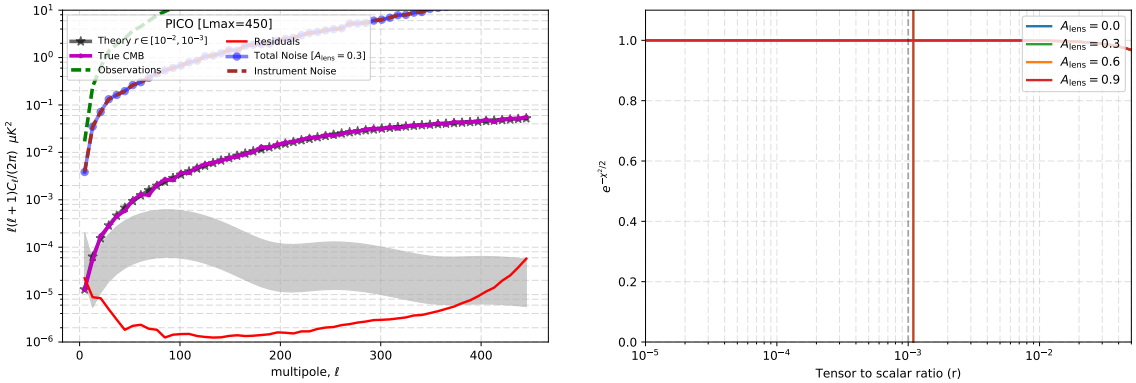

cMILC13 : $I_{\rm CMB}$; $I_{\rm sync}$; $I_{\rm dust}$; $\frac{dI_{\rm sync}}{d\beta}$; $\frac{dI_{\rm dust}}{d\beta}$; $\frac{dI_{\rm dust}}{dT}$; $\frac{d^2I_{\rm sync}}{d^2\beta}$; $\frac{d^2I_{\rm dust}}{d^2T}$; $\frac{d^2I_{\rm dust}}{d\beta dT}$ (H)

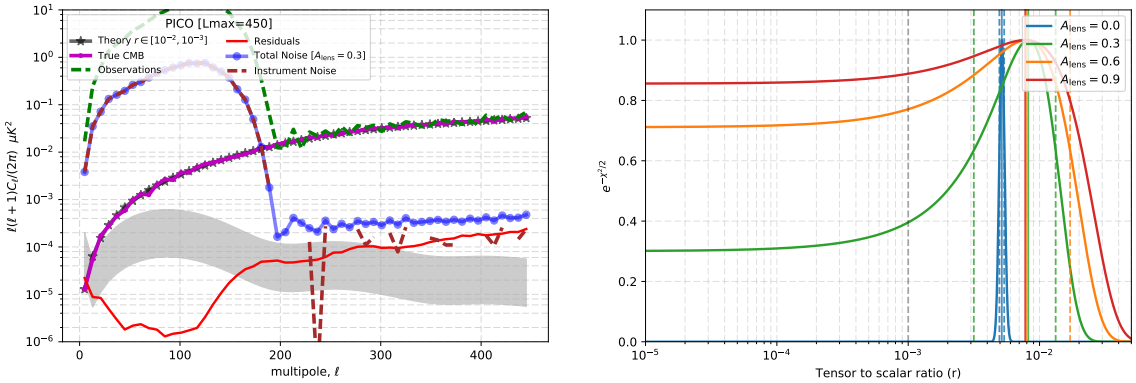

cMILC14 : $I_{\rm CMB}$; $I_{\rm sync}$; $I_{\rm dust}$; $\frac{dI_{\rm sync}}{d\beta}$; $\frac{dI_{\rm dust}}{d\beta}$; $\frac{dI_{\rm dust}}{dT}$; $\frac{d^2I_{\rm sync}}{d^2\beta}$; $\frac{d^2I_{\rm dust}}{d^2T}$; $\frac{d^2I_{\rm dust}}{d\beta dT}$; $\frac{d^2I_{\rm dust}}{d^2\beta}$

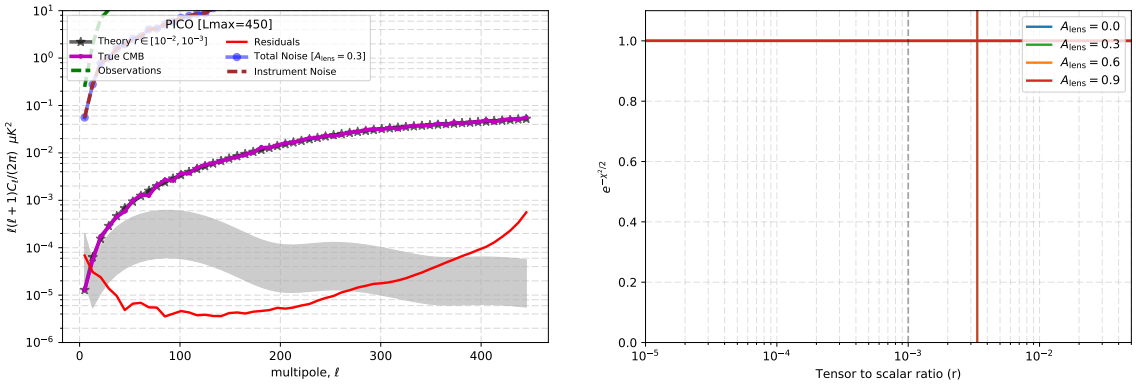

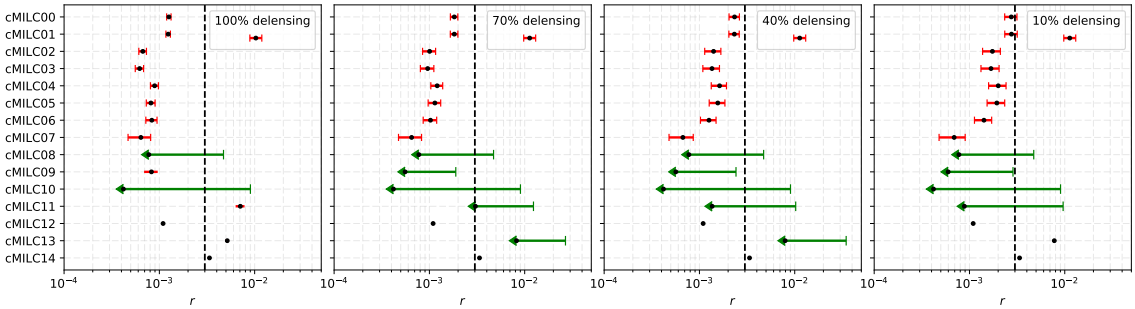

3 r constraints